

# **RESTART: UN MÉTODO DE ACELERACIÓN DE SIMULACIONES DE SUCESOS INFRECuentes**

José Villén Altamirano  
Universidad Politécnica de Madrid

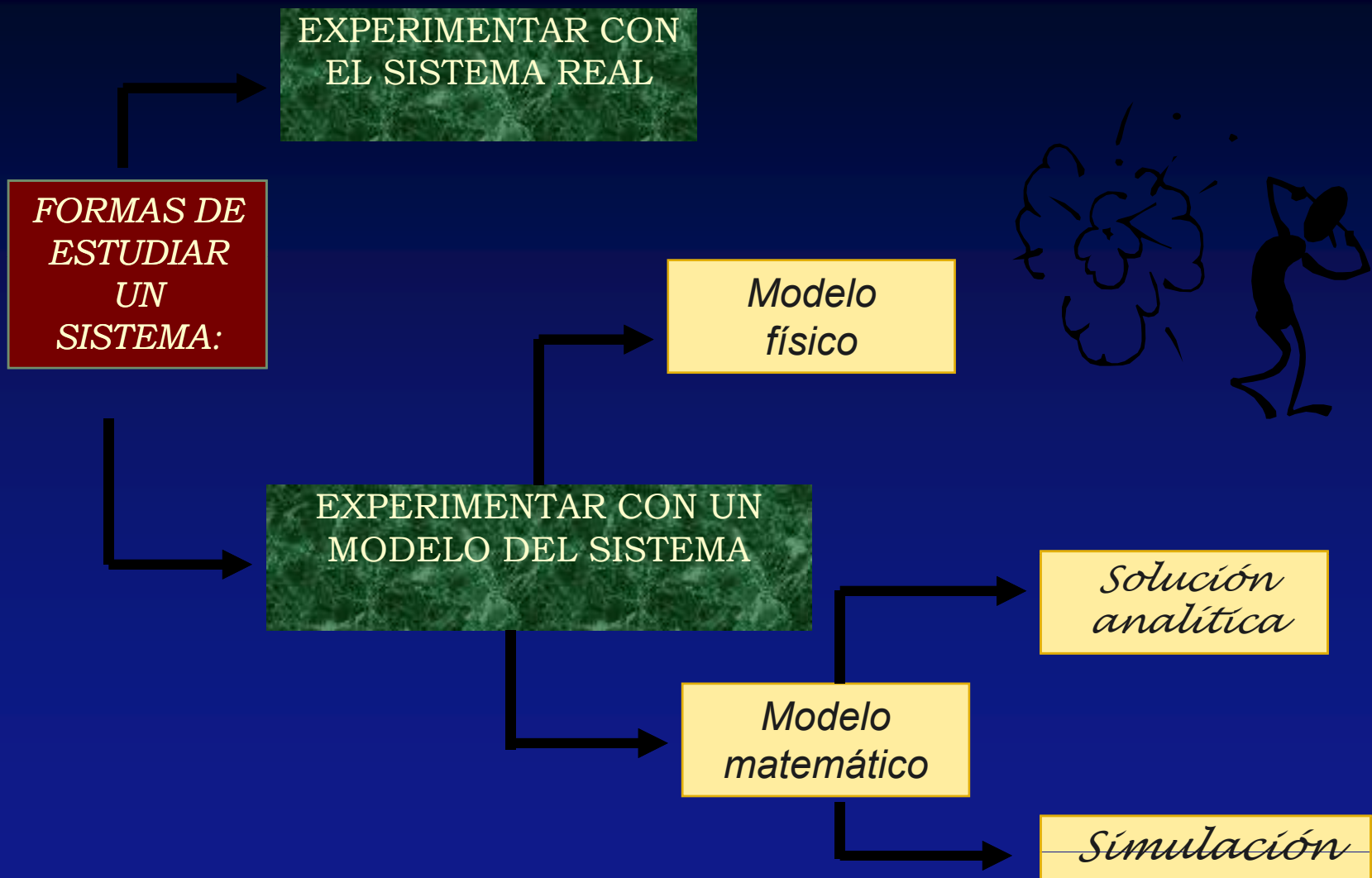
---

# ÍNDICE

- **Introducción**
- **Descripción de RESTART**
- **Eficiencia**
  - Parámetros óptimos
  - Factores de Ineficiencia
  - Función de Importancia
- **Ejemplos**
- **Conclusiones**

# ¿Qué es la simulación?

- **SIMULACIÓN:** Técnicas para imitar el funcionamiento de sistemas o procesos reales mediante programas de ordenador.
- **ÁREAS DE APLICACIÓN:**
  - Diseño y análisis de sistemas de producción
  - Evaluación de requerimientos hardware y software para un sistema de computación
  - Diseño de sistemas de comunicación
  - Diseño y operación de sistemas de transporte como aeropuertos, puertos o metro
  - Evaluación de diseños para la organización de servicios como hospitales u oficinas de correos
  - Análisis de sistemas económicos o financieros



# EL PROBLEMA

- Estimar probabilidades de sucesos infrecuentes
- Ejemplo
  - Probabilidad de pérdida de un mensaje =  $10^{-10}$
  - Error relativo del intervalo de confianza : 10%



- Simulación normal es impracticable
- Se requieren técnicas de aceleración

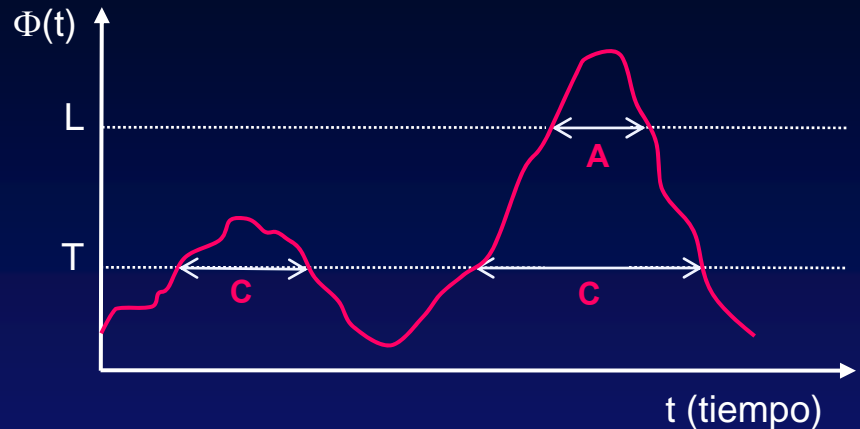
# MUESTREO DE IMPORTANCIA

- Se quiere estimar  $\theta = E [h(X)] = \int_{\Omega} h(x) p(x) dx$
- La idea es tomar muestras de otra v.a.  $X^*$  con función de densidad  $p^*(x)$  de forma que el suceso raro ocurra más frecuentemente. Por ejemplo:
  - aumentando la tasa de llegadas en un sistema de colas
  - aumentando la tasa de fallo de cada componente en un estudio de fiabilidad.

$$\theta = \int_{\Omega} \frac{h(x) p(x)}{p^*(x)} p^*(x) dx = E [q(X^*) h(X^*)] \text{ siendo } q(x) = \frac{p(x)}{p^*(x)}$$

- Dificultad: elegir adecuadamente  $p^*(x)$ . Se requiere un estudio analítico para aplicarlo a cada caso particular.

# FUNDAMENTOS DE RESTART (I)

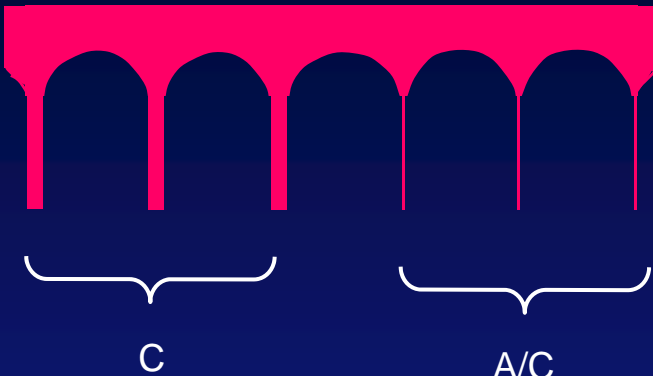


A : Suceso infrecuente

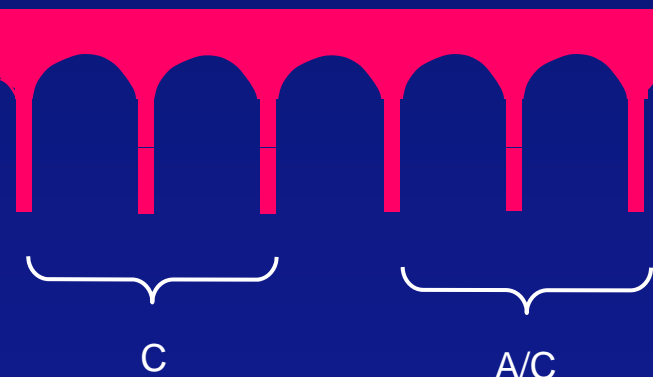
C : Estados con  $\Phi \geq T$   $\left\{ \begin{array}{l} C \supset A \\ 1 >> P\{C\} >> P\{A\} \end{array} \right.$

$$P\{A\} = P\{C\} \cdot P\{A/C\}$$

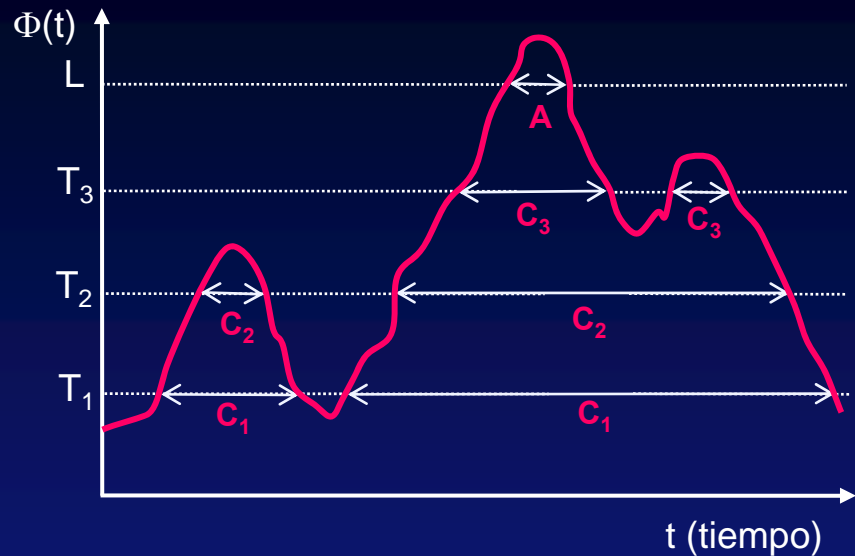
- Simulación normal:



- Con RESTART mono-umbral:



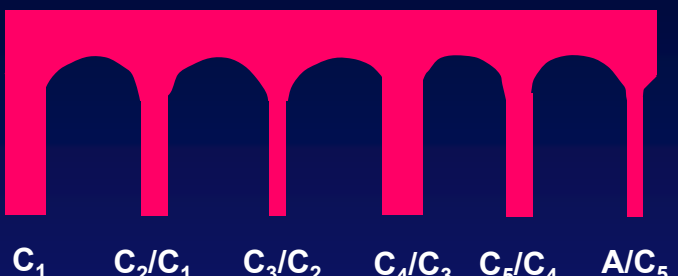
# FUNDAMENTOS DE RESTART (II)



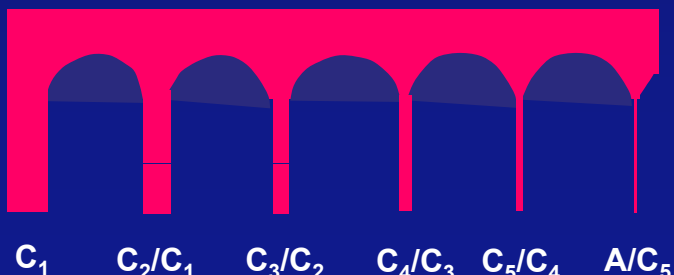
$$C_1 \supset C_2 \supset C_3 \supset \dots \supset C_M \supset A$$

$$P\{A\} = P\{C_1\} \cdot P\{C_2/C_1\} \cdot \dots \cdot P\{A/C_M\}$$

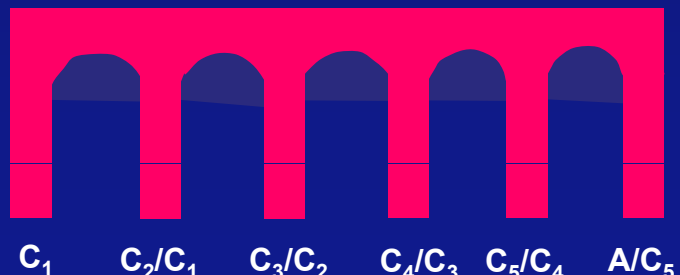
- Con RESTART mono-umbral:



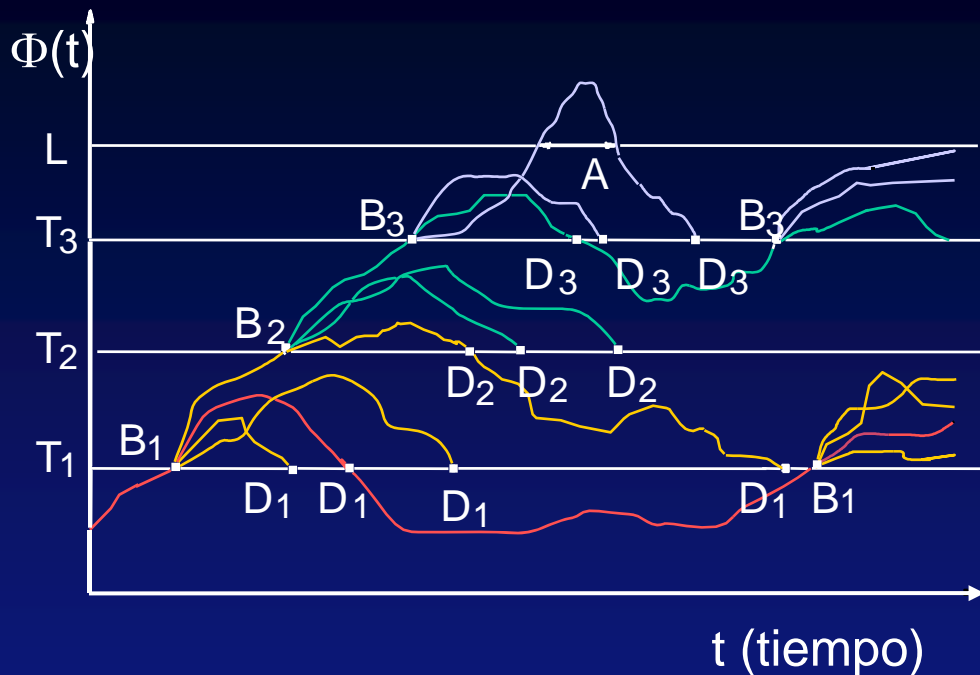
- Simulación normal:



- Con RESTART multi-umbral:



# DESCRIPCIÓN DE RESTART (I)



Umbrales  $T_i$  definen:  $P_i = \Pr\{\Phi \geq T_i\}$ ,  $P_{i/j} = P_i / P_j$

Nº de reintentos en  $B_i$ :  $R_i$

Multiplicador de muestreo en  $G_i$ :  $r_i = \prod_{j=1}^i R_j$

$$\hat{P} = \frac{N_A}{N - r_M}$$

**RESTART:** REpetitive SImulation Trials After Reaching Thresholds

## Descripción de RESTART (II)



$$P = \Pr\{A\} = \Pr\{Q_2 \geq L\}$$

$$\Pr\{C_i\} = \Pr\{\Phi \geq T_i\}$$

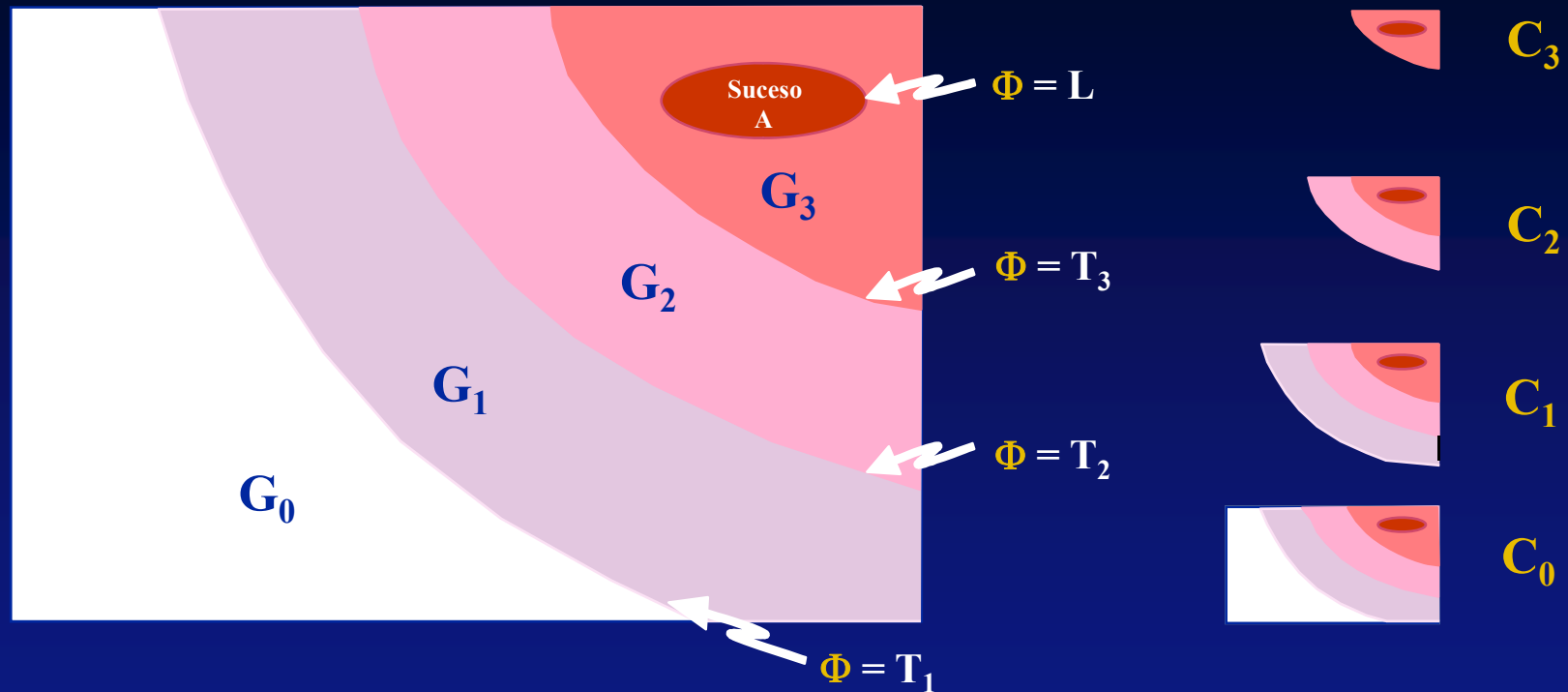
$$\Phi = \frac{\ln \rho_2}{\ln \rho_1} Q_1 + Q_2$$

$$A \not\subset C_i \quad i = 1, \dots, M \text{ then: } P\{A\} = \sum_{i=1}^M P\{C_i\} P\{A/C_i\}$$

$$\hat{P} = \sum_{i=1}^M \frac{N_{Ai}}{r_i \cdot N}$$

$N$  : No. of simulated events ( retrials not included )  
 $N_{Ai}$  : No. of events  $A$  in retrials from sets  $C_i$

# DESCRIPCIÓN DE RESTART (III)



$\Phi$  : Función de importancia  
 $T_i$  : umbrales  
 $L = T_{M+1}$

$G_i$  : Regiones de importancia  
 $C_i$  : Conjuntos de importancia  
 $A = G_{M+1} = C_{M+1}$

# Splitting



- Useful only for short samples. Inefficient for steady-state simulation

# ESTIMADOR Y VARIANZA

El estimador de la probabilidad de que ocurra el suceso raro cuando sólo se puede alcanzar desde el último umbral es:

$$\hat{P} = \frac{N_A}{N - r_M}$$

La varianza de este estimador es:

$$V(\hat{P}) = \frac{K_A P}{N} \left[ \frac{1}{r_M} + \sum_{i=1}^M \frac{s_i}{P_{i/0}} \frac{P_{A/i}}{r_{i-1}} \left( \frac{R_i - 1}{R_i} \right) \right]$$

$$\text{Con } K_A = V(N_A^0) / E[N_A^0]$$

# EFICIENCIA (I)

Coste de simulación para igual error relativo del intervalo de confianza:

Simulación normal

$$K \frac{1}{p}$$

RESTART

$$\frac{Ke^2}{4} \left( \ln \frac{1}{p} \right)^2 f_R f_T f_V f_O$$

$$Ganancia = \frac{4}{e^2} \frac{1/p}{\left( \ln \frac{1}{p} \right)^2} \frac{1}{f_R f_T f_V f_O}$$

**Los factores  $f_{\geq 1}$  reflejan ineficiencia debida a:**

$f_R$  -  $R_i$  no óptimos

$f_T$  -  $T_i$  no óptimos

$f_V$  - varianza en  $B_i$

$f_O$  - consumo de tiempo del algoritmo

# EFICIENCIA (II)

- Ganancia para  $f_R = f_T = f_V = f_O = 1$

P	<u>Tiempo de computación</u>		<u>Ganancia</u>
	Simulación normal	RESTART	
$10^{-4}$	6 seg.	0.1 seg.	63
$10^{-7}$	1.7 horas	0.3 seg.	$2 \times 10^4$
$10^{-10}$	2.4 meses	0.6 seg.	$1 \times 10^7$
$10^{-100}$	$2 \times 10^{89}$ años	1 min.	$1 \times 10^{95}$

- Suposición: 1 minuto para  $P = 10^{-5}$  con simulación normal

# REDUCCIÓN DE $F_R$

$$R_i = \frac{1}{\sqrt{P_{i+1/i-1}}} \quad \Rightarrow \quad r_i = \frac{1}{\sqrt{P_{i+1/1} \cdot P_{i/o}}} \quad \Rightarrow \quad f_R = 1$$

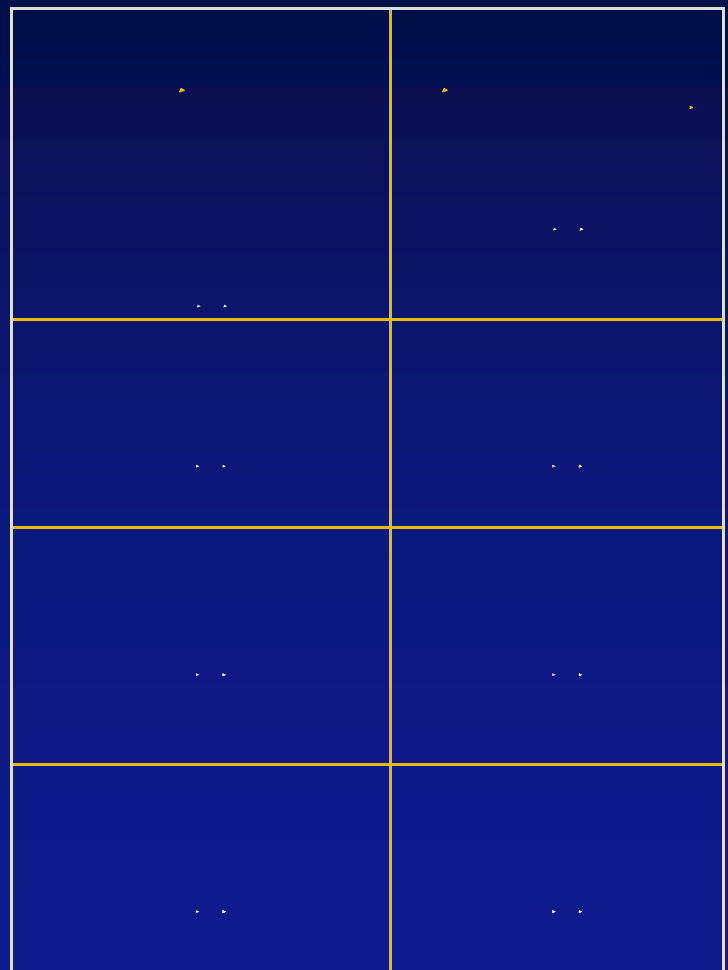
- Ajuste de  $r_i$  a su valor óptimo
- Elección de  $R_i$  para ajustar  $r_i$

# REDUCCIÓN DE $F_T$

**Umbrales óptimos:**  $P_{i/i-1} = 1 \Rightarrow f_T = 1$

$$f_T = \frac{\left( \sum_{i=0}^M \frac{1 - P_{i+1/i}}{\sqrt{P_{i+1/i}}} + 1 \right)^2}{(-\ln P + 1)^2} \quad , \text{ siendo } P_{i+1/i} = P(\Phi \geq T_{i+1}) / P(\Phi \geq T_i)$$

- Tomar el máximo número de umbrales posible, con la restricción de que  $R_i$  debe ser un número entero.
- No es crítico un ajuste preciso de  $P_{i/i-1}$



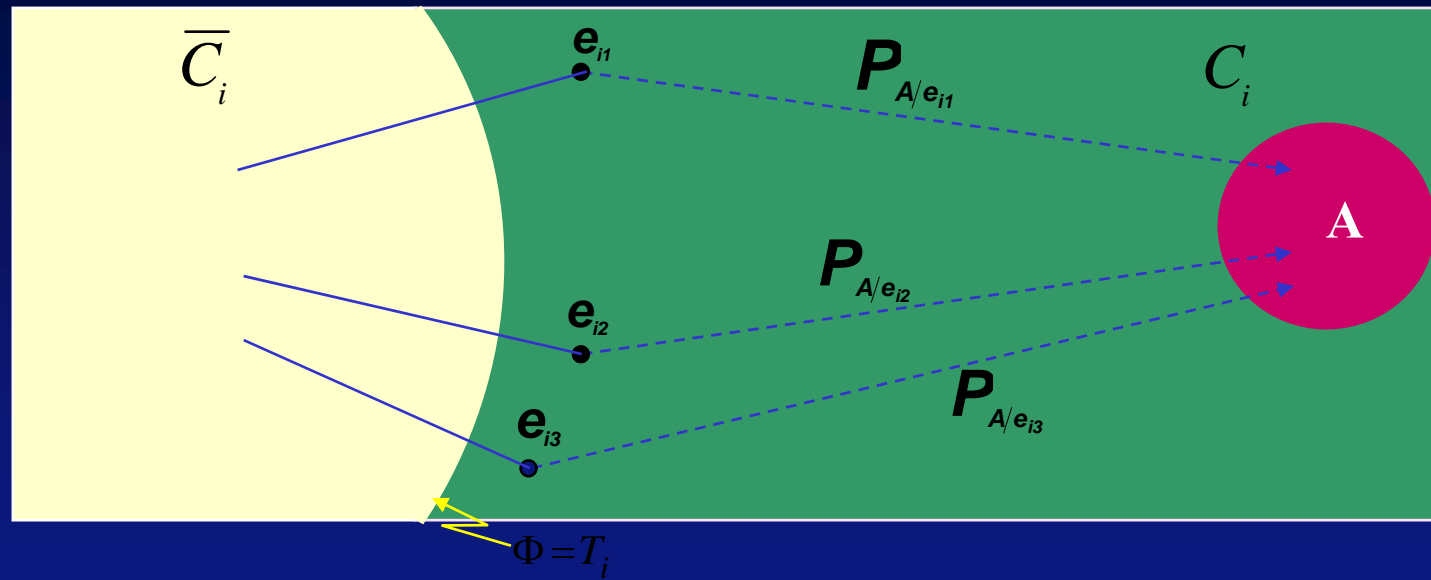
# REDUCCIÓN DE $F_O$

- Afecta al tiempo de computación, no al nº de sucesos
- Debido al consumo de tiempo del algoritmo
  - por suceso: evaluar  $\Phi$ , comparar con  $T_i$ , ...
  - por reintento: salvar / restaurar el estado en  $B_i$ , revisar decisiones, ...
- Directrices para reducir el tiempo consumido por reintento
  - Volcado de memoria para salvar / restaurar el estado de  $B_i$
  - Histéresis: reduce el factor a su raíz cuadrada

# REDUCCIÓN DE $F_V$ (I)

$$f_v \leq \text{Max}(s_i)$$

$$s_i = \frac{a_i}{K_A} \left[ K_i + \frac{V(P_{A/e_{ij}}^*)}{(P_{A/i}^*)^2} \gamma_i \right]$$



- $e_{ij} \in \Omega_i$  (espacio de estados en  $B_i$ )
- $P_{A/e_{ij}}^*$  es el nº esperado de sucesos  $A$  en un reintento  $[B_i, D_i]$  que empieza en  $e_{ij}$ . Se le llama importancia del estado  $e_{ij}$ .
- $f_V$  es debido a la varianza entre las  $P_{A/e_{ij}}$  de un mismo  $i$

# REDUCCIÓN DE $F_v$ (III)

## Ejemplo de la directriz 1



Suceso infrecuente :  $q_2 \geq L$  , por ej.:  $L = 40$

	Mala elección	Buena elección
<b>Función de importancia</b>	$\Phi = q_2$	$\Phi = aq + q_2$ , $a = 0.6$
<b>Estados</b> $e_{ij}$ ( $T_i = 20$ )	$(0, 20), \dots, (18, 20), \dots, (33, 20), \dots$	$(0, 20), \dots, (18, 9), \dots, (33, 0)$
<b>Valores de Eficiencia</b> $P_A / e_{ij}$	<i>Muy diferentes</i> <i>Muy baja</i>	<i>Más similares</i> <i>Aceptable</i>

# REDUCCIÓN DE $F_V$ (IV)

## Resultados

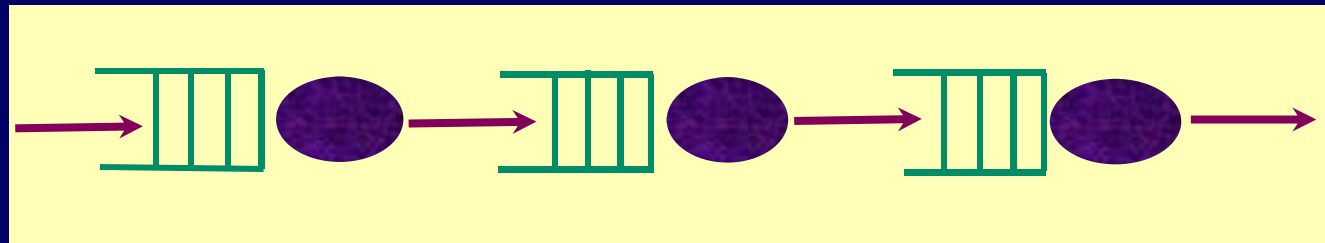
$L$	$P$	$\hat{P}$	Tiempo (minutos)	Ganancia (en sucesos)	$f_V$
20	$2.87 \cdot 10^{-10}$	$2.92 \cdot 10^{-10}$	0.25	$6 \cdot 10^6$	1.3
60	$2.36 \cdot 10^{-29}$	$2.39 \cdot 10^{-29}$	7	$5 \cdot 10^{23}$	3.1
100	$1.94 \cdot 10^{-48}$	$2.02 \cdot 10^{-48}$	59	$7 \cdot 10^{41}$	7.1

$$f_R \approx 1 \quad f_T \approx 1$$

$$f_v \approx \frac{\text{Ganancia teórica } (f_R = f_T = f_V = f_o = 1)}{\text{Ganancia real en sucesos}}$$

# Importance Function (I)

## ■ Three-queue Jackson tandem network



➤ Importance function (If  $\rho_1 > \rho_2 > \rho_3$ ):

$$\Phi = Q_1 \frac{\ln \rho_1}{\ln \rho_3} + Q_2 \frac{\ln \rho_2}{\ln \rho_3} + Q_3$$

If  $\rho_1 < \rho_2 < \rho_3$ , or if  $\rho_2 < \rho_1 < \rho_3$ ,  $\Phi = Q_1 + Q_2 + Q_3$

If  $\rho_2 < \rho_3 < \rho_1$ ,  $\Phi = Q_1 \frac{\ln \rho_1}{\ln \rho_3} + Q_2 + Q_3$

If  $\rho_1 < \rho_3 < \rho_2$ , or if  $\rho_3 < \rho_1 < \rho_2$ ,  $\Phi = \frac{\ln \rho_2}{\ln \rho_3} (Q_1 + Q_2) + Q_3$

# Importance Function (II)

## General Jackson networks

$$P = \Pr\{Q_{tg} \geq L\}$$

$$\Phi = \sum_{i=1}^H \alpha_{1i} \frac{\ln(\rho_{tg}/\rho_{tgi}^*)}{\ln \rho_{tg}} Q_{1i} + \sum_{j=1}^K \alpha_{2j} \frac{\ln(\rho_{tg}/\rho_{tgc}^\perp)}{\ln \rho_{tg}} Q_{2j} + Q_{tg}$$

$$\rho_{tg} = \frac{\gamma_{tg} + \sum_{j=1}^K \lambda_j p_{jtg}}{\mu_{tg}} = \frac{\lambda_{tg}}{\mu_{tg}} \quad \rho_{tgi}^* = \frac{\gamma_{tg} + \sum_{j=1}^K \text{Min}[\lambda_{2j} + (\mu_{1i} - \lambda_{1i}) p_{ij}, \mu_{2j}] p_{jtg} + \lambda_{tg} p_{tgtg}}{\mu_{tg}}$$

$$\rho_{tgc}^\perp = \frac{\gamma_{tg} + \mu_{2j} p_{jtg} + \sum_{l \neq j} \lambda_{2l} p_{ltg} + \lambda_{tg} p_{tgtg}}{\mu_{tg}}$$

$$\alpha_{1i} = 1 + \frac{\sum_{l \neq i} \gamma_{1l} \sum_{j=1}^K p_{lj} p_{jtg} + \sum_{j=1}^K \gamma_{2j} p_{jtg} + \gamma_{tg}}{\mu_{1i} \sum_{j=1}^K p_{ij} p_{jtg}}; \quad \alpha_{2j} = 1 + \frac{\sum_{i=1}^H \gamma_{1i} \sum_{l \neq j} p_{il} p_{ltg} + \sum_{l \neq j} \gamma_{2l} p_{ltg} + \gamma_{tg}}{\mu_j p_{jtg}}$$

# Simulation Results (I)

- Example 1:** Jackson Network with 7 nodes arrival rate from exterior  $\gamma_i = 1; i = 1, \dots, 7$

# Transition Probability Matrix

--

# Simulation Results (II)

## **•Example 3: Jackson network with 7 nodos:**

■ Rare event probability:  $P(Q_t \geq 70) = 8.8 \cdot 10^{-35}$ ;

$$\rho_t = 0.3262; \quad \Phi = a \sum_{i=1}^4 Q_i + b \sum_{j=5}^6 Q_j + Q_t$$

$\rho_1$	$\rho_2$									
..	..	..	..	..	..	..	..	..	..	..
..	..	..	..	..	..	..	..	..	..	..
..	..	..	..	..	..	..	..	..	..	..

- In the three cases the best results are obtained with the coefficients  $a$  and  $b$  obtained with the formulas of the paper.
- **Robustness:** Acceptable results are obtained for coefficient  $a$  and  $b$  up to 20% lower or greater than optimal ones.

# Simulation Results (III)

*Example 2: Large Jackson network with 15 nodes, four of them at distance 3 from the target node. The target node has the lowest load.*

$$P(Q_t \geq 70) = 1.6 \cdot 10^{-33}; \quad \rho_t = 0.34; \quad \Phi = 0 \sum_{i=1}^4 Q_i + b \sum_{j=5}^9 Q_j + c \sum_{k=10}^{14} Q_k + Q_t$$

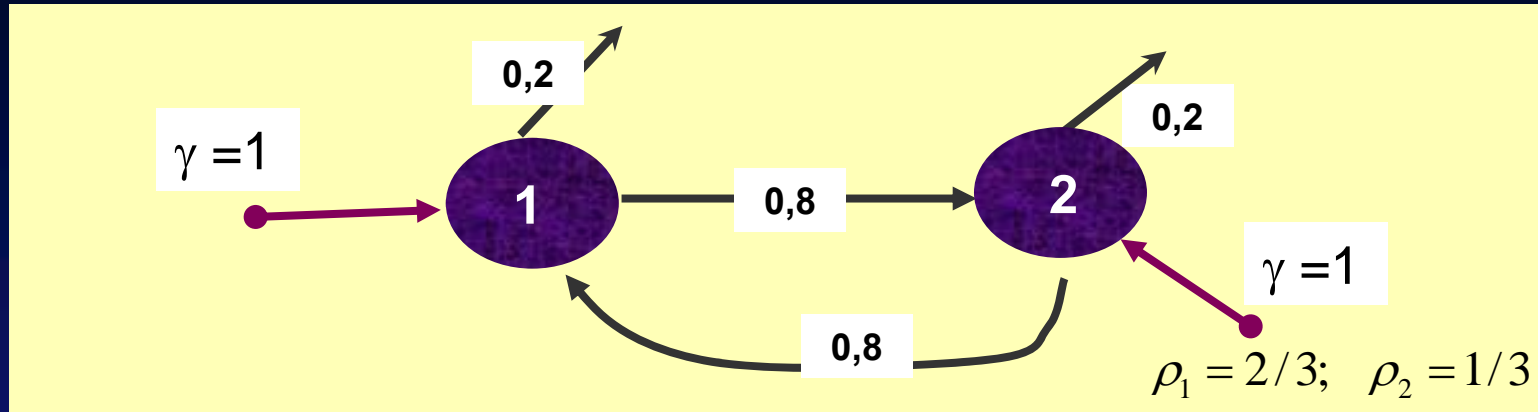
- 20 minutes of computational time for estimating this probability with a relative error of 10%.

$$P(Q_t \geq 30) = 8.8 \cdot 10^{-15}$$

- 4 minutes of computational time for estimating this probability with the same importance function and the same relative error.

# Simulation Results (IV)

*• Example 3: Network with strong feedback: 2-node Jackson network.*



$$P(Q_2 \geq 70) = 4.0 \cdot 10^{-34}; \quad \Phi = 0.369Q_1 + Q_2$$

- 30 minutes of computational time for estimating this probability with a relative error of 10%.

$$P(Q_2 \geq 30) = 4.9 \cdot 10^{-15};$$

- 4 minutes of computational time for estimating this probability with the same importance function and the same relative error.

# Importance Function Non-Jackson networks

- networks with rlang, yperexponential, ...
  - $\backslash\backslash\backslash\backslash\backslash\backslash$

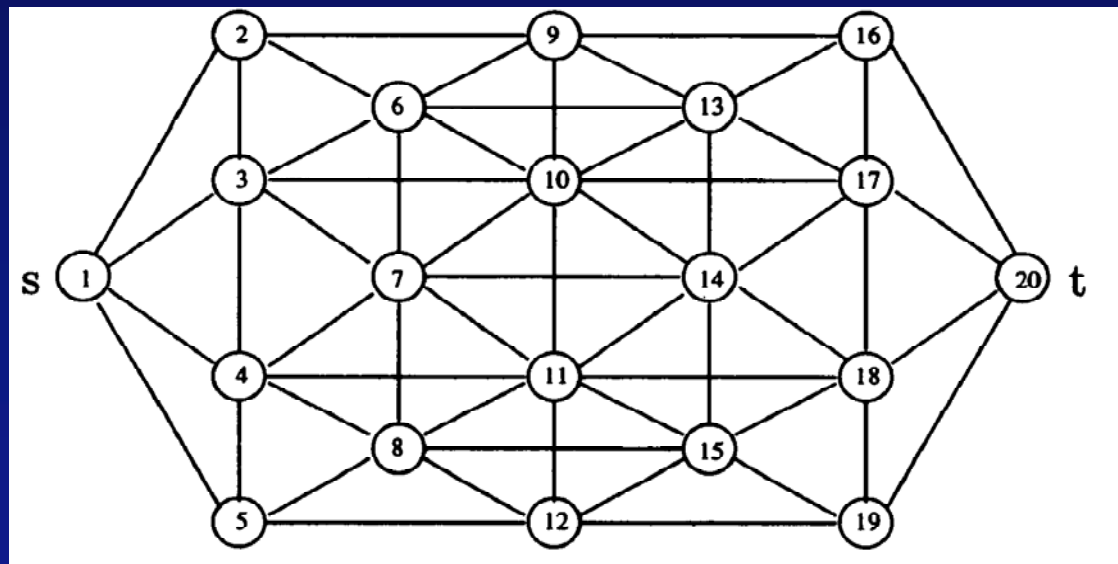
# Importance function: highly-dependable system (I)

All the system states of the same threshold, must have similar importance.

- The importance function is constant for all states with the same threshold value.
- The importance function is zero for states with a threshold value lower than the minimum threshold of the system.
- The importance function is one for states with a threshold value higher than the maximum threshold of the system.
- The importance function is “distance”  
$$\Phi(\text{state}) = \text{cl} - \frac{\text{threshold}}{\text{max\_threshold}}$$

## Importance function: highly-dependable system (II)

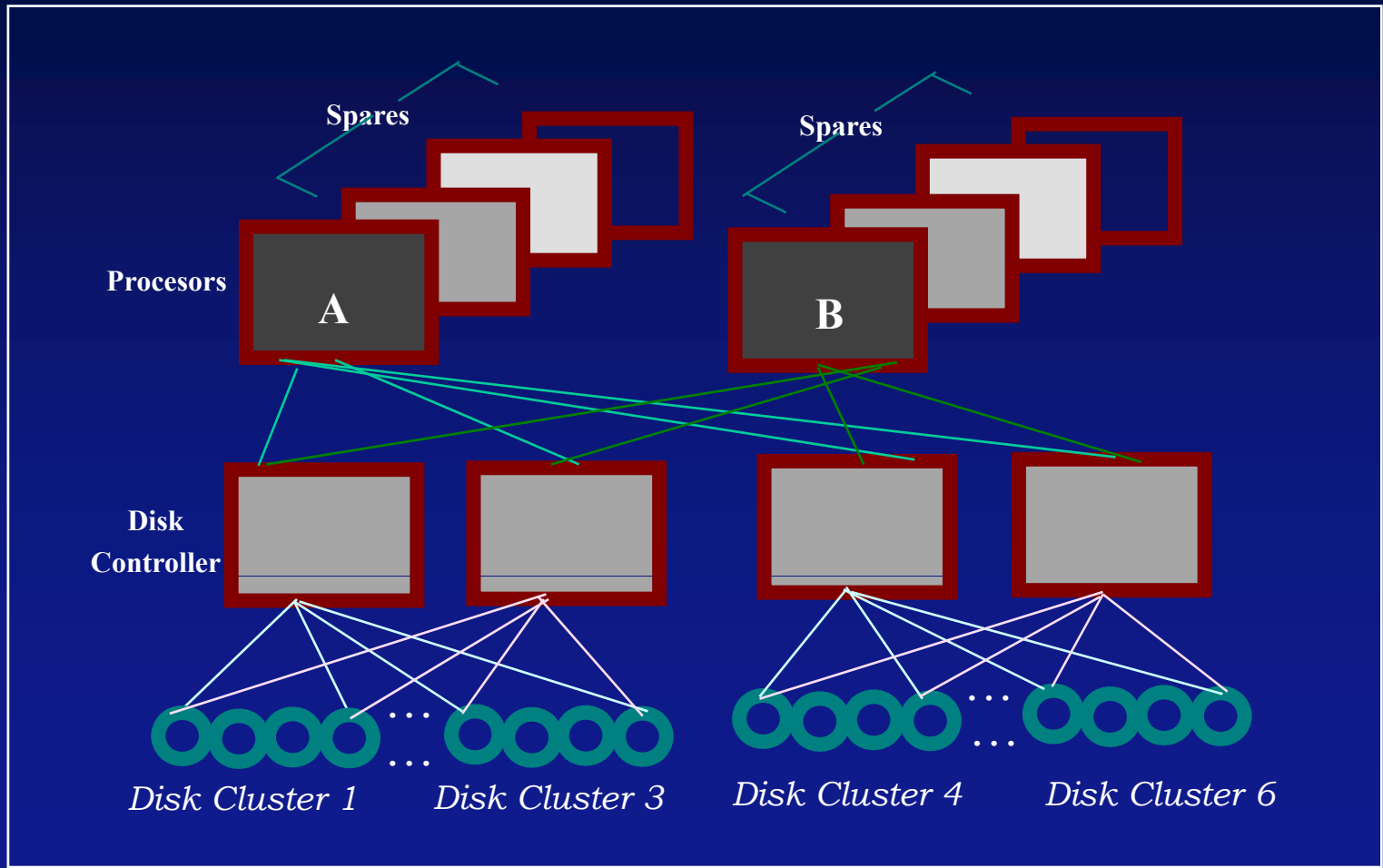
$$\Phi(\cdot) = \text{cl}(\cdot)$$



# Importance function: highly-dependable system (III)

- Computing system

- Importance function:  $\Phi(t) = \text{cl} - \text{oc}(t)$



# Model Features

## Non-Markov C( $k, n$ : F) REPARAIBLE SYSTEM AND ( $k-1$ )-STEP MARKOV DEPENDENCE

- The system fails if and only if  $k$  or more consecutive components have failed.
- The lifetime of components and the repair time have a general distribution.
- A failed component has the highest repair priority if the system failure risk after repair of that component is lower than after repair of any other failed component.
- If the system has failed, then no more components will fail.
- If there are  $h$  ( $h < k$ ) consecutive failed components that precede the component  $i$ , the residual lifetime of component  $i$  will have increasing failure rate as  $h$  increases,

# Simulation Results (I)

- Table 1: Unreliability estimates for C(4, 60: F) system. 95% confidence interval =  $\pm 10\%$**

Model	Interval $(0, t_e)$	Unreliability	Run-time (seconds)	Gain in time	Factor $f_T$	Factors $f_O \times f_V$
EL A	(0, 25)	$3.4 \times 10^{-6}$	3	$4.8 \times 10^1$	2.6	1.3
EL A	(0, 5)	$3.8 \times 10^{-8}$	6	$7.7 \times 10^3$	4.9	2.1
EL A	(0, 1)	$1.2 \times 10^{-10}$	24	$4.9 \times 10^5$	12.5	2.4
WLA	(0, 25)	$8.6 \times 10^{-13}$	697	$2.1 \times 10^8$	28.6	2.4
WLA'	(0, 25)	$8.3 \times 10^{-6}$	11	$1.6 \times 10^1$	2.4	2.0
WLA'	(0, 1)	$2.0 \times 10^{-10}$	149	$3.8 \times 10^5$	11.0	2.2

- **Repair times:** Lognormal in all the models.
- **Lifetimes:** Exponential (models EL) or Weibull (models WL).
- **Model WL A':** Components are 640 u.t. old

# Simulation Results (II)

- Table 2: Unavailability and MTBF estimates for C(4, 60: F) system.**  
**95% confidence interval =  $\pm 10\%$**

Model		MTBF	Run-time (seconds)	Factor $f_T$	Gain in time	Factors $f_V xf_O$
EL A	$1.6 \times 10^{-5}$	$5.8 \times 10^5$	4	2.6	38	4.4
EL B	$4.6 \times 10^{-8}$	$2.8 \times 10^8$	12	9.0	1267	5.9
EL C	$4.2 \times 10^{-10}$	$2.1 \times 10^9$	33	36.1	16650	7.8
WL A	$2.2 \times 10^{-5}$	$8.9 \times 10^5$	12	2.5	14	9.4
WL B	$8.8 \times 10^{-8}$	$1.4 \times 10^8$	45	8.2	263	17.7
WL C	$5.6 \times 10^{-10}$	$1.7 \times 10^9$	194	38.7	3159	29.4

- Repair times:** Lognormal in all the models.
- Lifetimes:** Same mean in Exponential and Weibull models.
- Models B, C:** Mean lifetimes 3 and 10 times greater than model A

# CONCLUSIONES

**RESTART es una técnica de simulación de sucesos infrecuentes que aporta:**

- Ahorro drástico del tiempo de computación
- Propósito general
- Aplicable si podemos definir regiones del espacio de estados anidadas que se vayan acercando a la región definida por el suceso raro

# APLICACIONES (OTROS AUTORES)

Código: -36

- Sistema de control de trenes europeo (ETCS)
- Control del tráfico aéreo

**El suceso raro es el choque de 2 trenes o 2 aviones**

- Simulación de ciber-ataques a sistemas críticos

# FUTURAS LÍNEAS DE TRABAJO

- Obtener fórmulas cuando se llega al suceso raro desde varios umbrales

- Aplicaciones a diversos campos:

**Seguros y sistemas financieros**

**Ciber-ataques a sistemas críticos**

**Estimar probabilidad de pérdida en todos los nodos**

**Estimación de fiabilidad de sistemas ultrafiables**

**Problemas de Física, Química y Biología.**